

**МИНОБРНАУКИ РОССИИ**  
**Российский государственный геологоразведочный университет**  
**имени Серго Орджоникидзе**  
**(МГРИ)**



# **ТЕЗИСЫ ДОКЛАДОВ** **ТОМ II**

**X Международной научной конференции**  
**молодых ученых**  
**«Молодые - Наукам о Земле»**

---

*International Scientific Conference of Young Researchers  
«The Young - for the Earth Sciences»*

**31 марта - 1 апреля 2022 г. | 31 March - 1 April 2022**  
**Москва | Moscow**

**Вопросы генезиса Au-Си минерализации в районе Кон Ра, центральный  
Вьетнам**

**До М.Ф.\* (МГРИ, Вьетнамский геофизический отдел, г. Ханой, Вьетнам,  
dominhphuong.dkt@gmail.com), Фан Т.Х. (МГРИ, Горно-геологический университет,  
г. Ханой, Вьетнам, phanthihong@hutm.edu.vn), Игнатов П.А (МГРИ,  
petrignatov@gmail.com)**

**Аннотация**

Первичные золотоносные медные руды рудопроявления Кон Ра представлены кварц-сульфидными агрегатами, наложенными на скарновые ассоциации. По анализу газово-жидких включений в кварце они формировались из среднетемпературных газогидротерм с началом процесса на больших глубинах и температурой 435°C. Изотопный состав серы сульфидов Кон Ра отличается однородностью и указывает на образование, руд из исходного гидротермального раствора магматического происхождения.

**Ключевые слова**

Газово-жидкие включения, медь, золото, изотопы серы, рудопроявление.

**Теория**

Районы Центрального Вьетнама рассматриваются в качестве перспективных на обнаружение стратегически важных месторождений золота, олова, меди, урана и др. В одним из них Кон Ра, расположенному в провинции Контум, находится одноименное рудопроявление меди, золота и урана.

Для изучения происхождения сульфидной Au-Си минерализации использованы: геологические карты масштабов 1:50 000 и 1:10 000; анализ 20 прозрачных шлифов и 22 анишлифов; результаты анализа газово-жидких включений в рудном кварце; анализ изотопии сульфидной серы из 6 образцов пирротина.

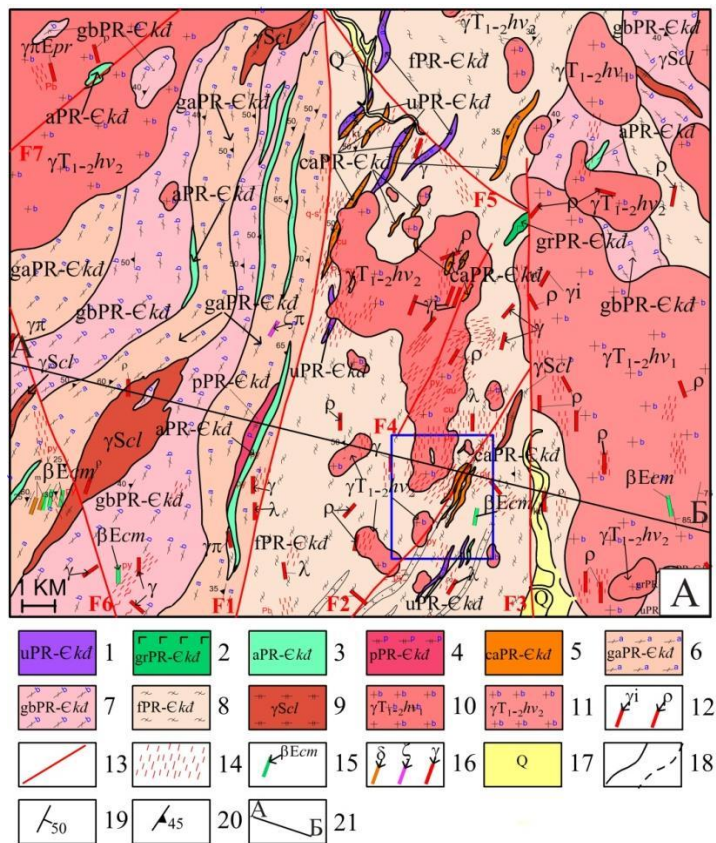
В пределах потенциального рудного узла наиболее распространены породы протерозой-кембрийского комплекса Хамдык (PR-Екд), которые также слагают небольшие ксенолиты в гранитоидах раннетриасового комплекса Хайван. Они существенно дислоцированы с преобладающим простирианием осевых поверхностей складок на северо-восток и субмеридионально, в меньшей мере, на северо-запад. В комплексе Хамдык выделено 9 ассоциаций (рис. 1).

Породы силурийского комплекса гранитоидов Чулай ( $\gamma$ ScI) обнажаются на поверхности в виде линз, сложенных гранито-гнейсами. Гранитоиды комплекса Чулай наиболее распространены на западе и меньше на востоке площади. Они залегают согласно с метаморфическими породами комплекса Хамдык и, вероятно, представляют собой ядра гранитизации куполовидно-валообразных структур.

Породы триасового комплекса гранитов Хайван ( $\gamma$ T<sub>1-2</sub>hv) обрамляют метаморфические породы комплекса Хамдык и встречаются внутри него в виде разных по площади массивов. Известны и поздние эоценовые диабазовые дайки комплекса



Кумонг ( $\beta$ Ecm). В пределах Кон Ра породы комплекса Хайван обнажаются на поверхности небольшими блоками и вскрыты скважинами до глубины 300 м, что указывает на относительно не глубокий эрозионный срез гранитных массивов [1].



**Рисунок 1.** Геологическая карта площади Кон Ра масштаба 1:50.000 (A) [1].

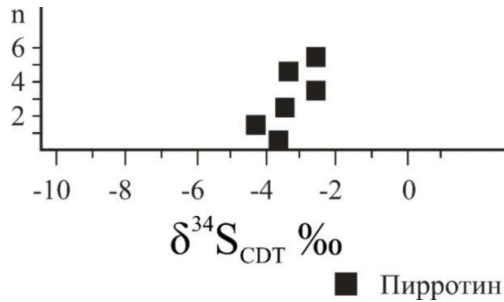
1-8 - протерозойский комплекс Хамдык (PR- $\epsilon$ kd): 1 - метаультрамафиты (uPR- $\epsilon$ kd): дуниты, перидотиты, пироксениты; 2 - метагаббро (grPR- $\epsilon$ kd); 3 - амфиболиты (aPR- $\epsilon$ kd); 4 - метаплагиограниты, плагиогранитогнейсы, гранодиоритогнейсы и диоритогнейсы (pPR- $\epsilon$ kd); 5 - метакарбонатные и метаскарновые породы (caPR- $\epsilon$ kd): мраморы, оливиновые и диопсидовые кальцифиры, диопсидиты, диопсидовые гнейсы, кварц-диопсидовые сланцы, пироксеновые скарны; 6 - амфибол-гнейсовая ассоциация (gaPR- $\epsilon$ kd): амфиболовые, амфибол-биотитовые, амфибол-тироксеновые и тироксеновые гнейсы; 7 - биотитовые гнейсы, биотит-плагиогнейсы, биотит-гранит-плагиогнейсы (gbPRk $\ddot{d}$ ); 8 - кварц-слюдяные, кварц-мусковитовые и биотитовые сланцы, слюдисто-гранат-силлманит-андалузит-кордиеритовые породы (fPR- $\epsilon$ kd); 9 - силурийский комплекс Чулай ( $\gamma$ Scl): гранитогнейсы, двуслюдяные гранитогнейсы; 10 - биотитовые граниты первой фазы ( $\gamma$ T<sub>1</sub>-hv<sub>1</sub>); 11 - биотитовые и двуслюдяные граниты второй фазы ( $\gamma$ T<sub>1-2</sub>hv<sub>2</sub>); 12 - гранит-аплиты и пегматиты ранней фазы ( $\gamma$ i- $\rho$ T<sub>1-2</sub>hv); 13 - разломы; 14 - зоны катаклаза; 15 - эоценовые диабазы комплекса Кумонг ( $\beta$ Ecm); 16 - гидротермальные жилы разного состава; 17 - голоцен-плейстоцен (Q): речные отложения; 18 - геологические границы; 19 - элементы залегания сланцев и амфиболитов; 20 - элементы залегания гнейсов; 21 - линия профиля АБ.

По результату изучения рудных шлифов в лаборатории МГРИ, керна и обнажений выделены широко распространенные рудные минералы халькопирит, пирит и пирротин. Меньше распространены марказит, ковеллин, графит и молибденит. Не часто встречаются магнетит, арсенопирит, халькозин, гематит, гетит и лимонит. Редким рудным минералом является уранинит.

Результаты анализа газово-жидких включений в кварце сульфидной ассоциации на исследуемой территории показывают, что минералообразующий раствор представлял собой гидротермальный раствор, образовавшийся на довольно большой глубине, с начальной температурой около 435°C [1].

Анализ стабильных изотопов серы сульфидов скарновых месторождений помогает определить подвижность обменного метаморфического раствора и спрогнозировать накопления руды от источника магмы; и в то же время определить возможность существования глубинных руд путем анализа зональности комплексов метасоматитов.

Что касается потенциальной минерализации Cu-Au-U Кон Ра, автор получил изотопный состав серы из 6 образцов пирротина из керна оценочных скважин (рис. 2, Табл. 1).



**Рисунок 2.** График, показывающий значения изотопа серы из пирротинаа Кон Ра

**Таблица 1**

*Изотопный состав сульфидной серы пирротина Кон Ра*

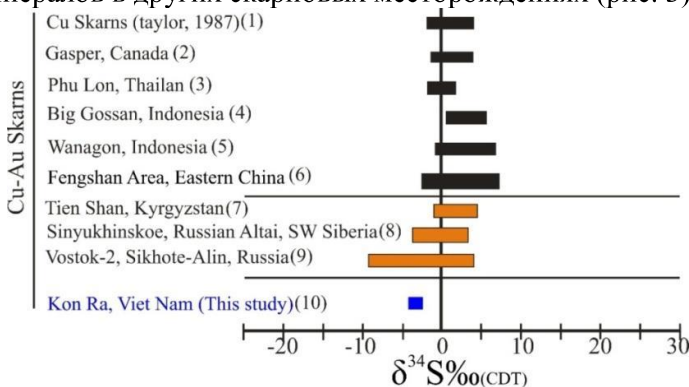
№ образца	δ³⁴S_CDT‰
Φ4 (LK5/70)	-3,8
Φ6 (LK3/24)	-4,1
Φ8 (LK1/1)	-3,2
Φ9 (LK1/2)	-2,5
Φ18 (LK1/12)	-3,4
Φ19 (LK1/15)	-2,5

Пирротин выделяли магнитной сепарацией. Изотопные анализы выполнены в ЦНИГРИ доктором геол.-мин. Наук С.Г.Кряжевым по методике [3]. Серу сульфидов переводили в SO<sub>2</sub> посредством реакции с CuO при 800°C в вакууме с последующей криогенной очисткой газа и анализом изотопного состава серы на масс-спектрометре МИ-1201. Результаты пересчитаны по отношению к метеоритному стандарту CDT. В качестве эталона использовали лабораторный стандартный образец ЦНИГРИ «Пирит Гайского месторождения» с δ<sup>34</sup>S=+0.7 ‰. Точность измерений составляет ± 0.2‰.

Пирротин наследует изотопный состав серы флюида независимо от температуры минералообразования [2]. Следовательно, измеренные значения  $\delta^{34}\text{S}$  характеризуют изотопный состав серы рудогенерирующих магм.

Изотопы серы, определенные в пирротине, показали, что изотопный состав серы в общем выражении минерализации Cu-Au-U Кон Ра был однородным ( $\delta^{34}\text{S}$  варьировалось от -4,1 до -2,5 ‰), средним ( $\delta^{34}\text{S} = -3,3 \pm 0,8 \text{ } \text{\textperthousand}$ ), что подтверждает представление о магматическом источнике рудного вещества. Однако, существует некоторая дифференциация, характеризующаяся увеличением изотопа  $\delta^{34}\text{S}$  с -3,4 до -2,5 ‰ в четырех образцах Ф8, Ф9, Ф18 и Ф19.

Результаты изотопного анализа  $\delta^{34}\text{S}$  на Кон Ра сопоставлены со значениями  $\delta^{34}\text{S}$  серосодержащих минералов в других скарновых месторождениях (рис. 3).



**Рисунок 3.** Сравнение  $^{34}\text{S}$  пирротина в потенциальном минерализации Кон Ра Cu-Au-U с другими типичными месторождениями Cu-Au скарновых месторождениями. Данные: 1 – Taylor (1987); 2 – Gerald E. Ray (2013); 3 - Kamvong, T. and Zaw, K. (2009); 4 - Prendergast, K., Clarke, G. W., Pearson, N. J. and Harris, K. (2005); 5 – Kylie Prendergast, Gavin W. Clarke (2005); 6 – Guiqing Xie; Jingwen Mao; Jeremy P. Richards; Ying Xiao Han; Bin Fu (2019); 7 – Serguei G. Soloviev, Sergey Kryazhev, Svetlana Dvurechenskaya (2018); 8 – Serguei G. Soloviev, Sergey G. Kryazhev, Svetlana S. Dvurechenskaya, Victor I. Uyutov (2019); 9 – Serguei G. Soloviev, Sergey G. Kryazhev, Svetlana S. Dvurechenskaya (2017); 10 – потенциальное проявление Кон Ра (район исследования).

Сера существенно обогащена легким изотопом  $^{32}\text{S}$ , что является характерным признаком «восстановленных» магм ильменитовой серии, в том числе в Японии [4]. Изотопные «пояса Японии», можно предполагать, есть и во Вьетнаме.

Из результатов изотопного анализа серы сульфидов Кон Ра в можно видеть, что золотоносные медные руды сформированы из исходного гидротермального раствора магматического происхождения.

## Выводы

Таким образом, минеральный состав руд рудопроявления Кон Ра включает гидротермальную минерализацию, наложенную на скарновые ассоциации. Руды сложены сульфидами, образованными в среднетемпературных условиях при участии

глубинных флюидов.

### **Библиография**

1. М.Ф. До, П.А. Игнатов, Т.Х. Фан, З.Х. Нгуен Д. Чан. Известия высших учебных заведений Геология и разведка 2020;63(2): С 73—85.
2. Омoto X., Рай Р. Изотопы серы и углерода / в кн. Геохимия гидротермальных рудных месторождений // М.:Мир, 1982, с. 403-450.
3. Устинов В.И., Гриненко В.А. Прецизионный масс-спектральный метод определения изотопного состава серы. – М.: Недра, 1965, 96 с.
4. Ishihara, S., and Sasaki, A., 1989, Sulfur isotopic ratios of the magnetite series and ilmenite-series granitoids of the Sierra Nevada batholith – a reconnaissance study: Geology, v. 17, p. 788-791.